

НАПРЯЖЕННО-ДЕФОРМИРОВАННОЕ СОСТОЯНИЕ
ПРЯМОУГОЛЬНОЙ ПОПЕРЕЧНО НАГРУЖЕННОЙ ПЛАСТИНКИ
ПРОИЗВОЛЬНОЙ ТОЛЩИНЫ

В.А.Савченко, С.В.Черненко

Пластинки являются распространенными элементами всевозможных конструкций и машин и находят широкое применение в конструкциях новой техники.

Теория поперечного изгиба прямоугольных пластин постоянной толщины и толщины, изменяющейся вдоль какой-либо координатной оси достаточно подробно изучена. Однако, в силу ряда конструктивных соображений и технологических особенностей, а также при проектировании конструкций минимального веса необходимо осуществлять прочностной расчет пластин, толщина которых h является функцией поверхностных координат. Возникающие при этом трудности связаны с невозможностью получения точного решения разрешающего уравнения пластинки произвольной жесткости, представляющей собой дифференциальное уравнение в частных производных четвертого порядка с переменными коэффициентами.

В настоящей работе рассмотрен численный алгоритм расчета напряженно-деформированного состояния прямоугольных свободно опертых пластин произвольной жесткости, основанный на конечно-разностной аппроксимации исходных уравнений. Все основные операции метода представлены в матричной записи. Алгоритм апробирован на решении ряда конкретных задач.

Разрешающее уравнение прямоугольной пластинки
переменной толщины

Рассматривается прямоугольная пластинка (рис. 1) со сторонами a и b . Толщина пластинки $h(x, y)$ является произвольной функцией декартовых координат x, y . Предполагается, что во всей прямоугольной области G толщина пластинки $h(x, y)$ изменяется плавно, без резких скачков. Тогда выражения для изгибающих M_x, M_y и крутящего M_{xy} моментов, введенные для пластинки постоянной толщины, остаются применимыми с достаточной точностью и в этом случае:

$$\begin{aligned} M_x &= -D(x, y) \left(\frac{\partial^2 W}{\partial x^2} + \nu \frac{\partial^2 W}{\partial y^2} \right); \\ M_y &= -D(x, y) \left(\frac{\partial^2 W}{\partial y^2} + \nu \frac{\partial^2 W}{\partial x^2} \right); \end{aligned} \quad (I)$$

$$M_{xy} = M_{yx} = \mathcal{D}(x, y)(1-\nu) \frac{\partial^2 W}{\partial x \partial y}. \quad (2)$$

Здесь $\mathcal{D}(x, y)$ - цилиндрическая жесткость как функция координат

$$\mathcal{D}(x, y) = \frac{E h^3(x, y)}{12(1-\nu^2)}, \quad (3)$$

E - модуль упругости первого рода; W - нормальный прогиб;
 ν - коэффициент Пуассона.

Дифференциальное уравнение равновесия элемента пластинки имеет вид

$$\frac{\partial^2 M_x}{\partial x^2} - 2 \frac{\partial^2 M_{xy}}{\partial x \partial y} + \frac{\partial^2 M_y}{\partial y^2} = -q(x, y), \quad (4)$$

где $q(x, y)$ - интенсивность внешней нагрузки.

Подставляя выражения для изгибающих моментов (1), (2) в уравнение (4), получим

$$\begin{aligned} \mathcal{D} \Delta \Delta W + 2 \frac{\partial \mathcal{D}}{\partial x} \frac{\partial \Delta W}{\partial x} + 2 \frac{\partial \mathcal{D}}{\partial y} \frac{\partial \Delta W}{\partial y} + \Delta \mathcal{D} \Delta W - \\ - (1-\nu) \left(\frac{\partial^2 \mathcal{D}}{\partial x^2} \frac{\partial^2 W}{\partial y^2} - 2 \frac{\partial^2 \mathcal{D}}{\partial x \partial y} \frac{\partial^2 W}{\partial x \partial y} + \frac{\partial^2 \mathcal{D}}{\partial y^2} \frac{\partial^2 W}{\partial x^2} \right) = q. \end{aligned} \quad (5)$$

Здесь символом Δ обозначен оператор Лапласа

$$\Delta = \frac{\partial^2}{\partial x^2} + \frac{\partial^2}{\partial y^2}. \quad (6)$$

Вводя обозначения

$$L(\mathcal{D}, W) = \frac{\partial^2 \mathcal{D}}{\partial x^2} \frac{\partial^2 W}{\partial y^2} - 2 \frac{\partial^2 \mathcal{D}}{\partial x \partial y} \frac{\partial^2 W}{\partial x \partial y} + \frac{\partial^2 \mathcal{D}}{\partial y^2} \frac{\partial^2 W}{\partial x^2} \quad (7)$$

и учитывая (6), разрешающее дифференциальное уравнение пластинки переменной толщины (5) запишем в виде

$$\Delta(\mathcal{D} \Delta W) - (1-\nu) L(\mathcal{D}, W) = q. \quad (8)$$

Сведение разрешающего уравнения четвертого порядка к системе уравнений четвертого порядка. Векторная формулировка краевой задачи.

Изгибающие моменты в пластинке определяются выражениями (I). Найдем сумму этих моментов

$$M_x + M_y = (1 + \nu) \mathcal{D}(x, y) \left(\frac{\partial^2 W}{\partial x^2} + \frac{\partial^2 W}{\partial y^2} \right) \quad (9)$$

и введем, аналогично [I], M - приведенный изгибающий момент

$$M = \frac{M_x + M_y}{1 + \nu} = \mathcal{D}(x, y) \Delta W. \quad (10)$$

Тогда, относительно двух переменных - нормального прогиба W и приведенного момента M из уравнений (8) и (10) получим следующую систему

$$\begin{aligned} \Delta M - (1 - \nu) L(\mathcal{D}, W) &= q, \\ M - \mathcal{D} \Delta W &= 0, \end{aligned} \quad (11)$$

где каждое из уравнений не выше второго порядка. В уравнениях (II) перейдем к безразмерным величинам, для чего введем обозначения

$$\begin{aligned} \alpha &= \frac{x}{a}; & \beta &= \frac{y}{b}; & \lambda &= \frac{a}{b}; \\ \bar{W} &= \frac{W}{h_0}; & \bar{\mathcal{D}}(\alpha, \beta) &= \frac{\mathcal{D}(\alpha, \beta)}{\mathcal{D}_0}; \\ \bar{M} &= \frac{M}{E h_0^2}; & \bar{q} &= \frac{q}{E}; \end{aligned} \quad (12)$$

$$\mu = \frac{12(1 - \nu^2) a^2}{h_0^2}$$

Здесь a и b - размеры сторон прямоугольной пластинки;
 D_0, h_0 - соответственно некоторая характерная жесткость
 и толщина пластинки.

С учетом соотношений (12) система уравнений (11) примет вид

$$\frac{\partial^2 \bar{M}}{\partial \beta^2} + \lambda^{-2} \frac{\partial^2 \bar{M}}{\partial \alpha^2} - \frac{1-\nu}{\mu} I_{,\alpha}(\bar{W}, \bar{M}) = \frac{\bar{q} b^2}{h_0^2},$$

$$\frac{\partial^2 \bar{W}}{\partial \alpha^2} + \lambda^2 \frac{\partial^2 \bar{W}}{\partial \beta^2} - \mu \frac{\bar{M}}{\bar{D}} = 0. \quad (13)$$

Введем в рассмотрение вектор-столбец, компонентами которого являются искомые величины \bar{W} и \bar{M} .

$$\vec{\bar{x}} = (\bar{W}, \bar{M}). \quad (14)$$

Тогда, переходя к матричной записи, уравнения (13) представим в следующей форме

$$[A] \vec{\bar{x}}_{,\alpha\alpha} + [B] \vec{\bar{x}}_{,\beta\beta} + [C] \vec{\bar{x}}_{,\alpha\beta} + [G] \vec{\bar{x}} = \vec{R}. \quad (15)$$

Здесь индекс при вектор-функции $\vec{\bar{x}}$ означает дифференцирование по соответствующей безразмерной координате.

В уравнении (15) ненулевые элементы квадратных матриц $[A]$, $[B]$, $[C]$, $[G]$, имеющих порядок $[2 \times 2]$, а также вектор $\vec{R}_{[1,2]}$, определяются следующими выражениями

$$a_{11} = \frac{\nu-1}{\mu} \bar{D}_{\beta\beta}; \quad a_{12} = \lambda^{-2}; \quad a_{21} = 1;$$

$$b_{11} = \frac{\nu-1}{\mu} \bar{D}_{\alpha\alpha}; \quad b_{12} = 1; \quad b_{21} = \lambda^2; \quad (16)$$

$$c_{11} = -\frac{2(\nu-1)}{\mu} \bar{D}_{\alpha\beta}; \quad c_{22} = -\frac{\mu}{\bar{D}}; \quad r_i = \frac{\bar{q} b^2}{h_0^2}.$$

Выразим граничные условия свободного опирания краев прямоугольной пластинки в компонентах вектора $\vec{\bar{x}}$.

$$\text{При } x = 0, a \quad \text{имеем } \bar{W} = 0 \text{ и } \bar{M}_x = 0; \quad (17)$$

$$\text{При } y = 0, b \quad \text{имеем } \bar{W} = 0 \text{ и } \bar{M}_y = 0. \quad (18)$$

Учитывая зависимость (10) и переходя к безразмерным величинам, запишем условия (17) и (18) в векторной форме

$$\vec{x} \Big|_{\substack{\lambda=0 \\ \lambda=1}} = 0; \quad \vec{x} \Big|_{\substack{\beta=0 \\ \beta=1}} = 0. \quad (19)$$

Метод блочной итерации

В безразмерных переменных λ, β прямоугольная область G с любым отношением сторон λ отображается в квадратную со стороной, равной единице (рис. 1). Разделим каждую из сторон на N равных частей и покроем область G квадратной сеткой. Шаг сетки будет $\delta = 1/N$. Представим векторное уравнение (15) в конечных разностях, для чего применим центральные операторы, имеющие погрешность квадрата шага $O(\delta^2)$.

$$\begin{aligned} \vec{x}_{\lambda\lambda} &= \frac{\vec{x}_{i+1,j} - 2\vec{x}_{i,j} + \vec{x}_{i-1,j}}{\delta^2}; \\ \vec{x}_{\beta\beta} &= \frac{\vec{x}_{i,j+1} - 2\vec{x}_{i,j} + \vec{x}_{i,j-1}}{\delta^2}; \\ \vec{x}_{\lambda\beta} &= \frac{\vec{x}_{i+1,j+1} + \vec{x}_{i-1,j-1} - \vec{x}_{i-1,j-1} - \vec{x}_{i+1,j-1}}{4\delta^2} \end{aligned} \quad (20)$$

($i, j = 1, 2, \dots, N-1$)

Подставляя разностные операторы (20) в уравнение (15) для каждой внутренней точки (i, j) сеточной области G_h получим

$$\begin{aligned} [A_{ij}] \vec{x}_{i+1,j} + [Q_{ij}] \vec{x}_{i,j} + [A_{ij}] \vec{x}_{i-1,j} + [B_{ij}] \vec{x}_{i,j+1} + \\ + \frac{1}{4} [C_{ij}] (\vec{x}_{i-1,j-1} - \vec{x}_{i+1,j-1}) + [B_{ij}] \vec{x}_{i,j-1} + \\ + \frac{1}{4} [C_{ij}] (\vec{x}_{i+1,j+1} - \vec{x}_{i-1,j+1}) = \frac{R_{ij}}{N^2}. \end{aligned} \quad (21)$$

Здесь элементы квадратной $[2 \times 2]$ матрицы Q_{ij} определяются следующими выражениями

$$q_{i,j}^{11} = -\frac{2(\nu-1)}{\mu} (\Delta \bar{\mathcal{D}})_{i,j}; \quad q_{i,j}^{12} = -2(1+\lambda^{-2});$$

$$q_{i,j}^{21} = -2(1+\lambda^2); \quad q_{i,j}^{22} = -\frac{\mu}{N^2 \bar{\mathcal{D}}}. \quad (22)$$

Узлы сетки, оказавшиеся на границе области G_h , будем называть граничными узлами или границей Γ_h области G_h . Для этих узлов граничные условия (15) запишем в виде

$$\mathcal{X} \Big|_{\substack{0,j \\ N,j}} = 0; \quad \mathcal{X} \Big|_{\substack{i,0 \\ i,N}} = 0 \quad (23)$$

Множество узлов области $G_h + \Gamma_h$, которые расположены на одной и той же горизонтальной прямой $j = \text{const}$, назовем строкой сеточной области.

Для решения краевой задачи (21)-(23) применим "однострочечный" метод блочной итерации. Обозначим индекс итерационного процесса через K ($K \gg 1$). Переносим подчеркнутые члены в уравнении (21) в правую часть, получим

$$[A_{i,j}] \vec{\mathcal{X}}_{i+1,j}^{(k)} + [a_{i,j}] \vec{\mathcal{X}}_{i,j}^{(k)} + [A_{i,j}] \vec{\mathcal{X}}_{i-1,j} = \frac{R_{i,j}}{N^2} -$$

$$- [B_{i,j}] \vec{\mathcal{X}}_{i,j-1}^{(k)} - \frac{1}{4} [C_{i,j}] (\vec{\mathcal{X}}_{i-1,j-1}^{(k)} - \vec{\mathcal{X}}_{i+1,j-1}^{(k)}) - \quad (24)$$

$$- [B_{i,j}] \vec{\mathcal{X}}_{i,j+1}^{(k-1)} - \frac{1}{4} [C_{i,j}] (\vec{\mathcal{X}}_{i+1,j+1}^{(k-1)} - \vec{\mathcal{X}}_{i-1,j+1}^{(k-1)}).$$

Решение системы уравнений (24) при заданных граничных условиях (23) будем искать в виде (матричные скобки для удобства записи опускаем)

$$\vec{\mathcal{X}}_{i,j}^{(k)} = P_{i,j} \vec{\mathcal{X}}_{i+1,j}^{(k)} + q_{i,j}^{(k)} \quad (j > 0 = \text{const}) \quad (25)$$

$$(i = 1, 2, \dots, N-1)$$

Здесь $P_{i,j}$ - неизвестные матрицы $[2 \times 2]$ не зависящие от порядкового номера итерационного процесса;

$q_{i,j}^{(k)}$ - векторы размерности 2, которые подлежат определению. Используя формулу (25) как рекуррентную зависимость, найдем

$$Z_{i-1,j}^{(k)} = P_{i-1,j} Z_{i,j}^{(k)} + q_{i-1,j}^{(k)} = P_{i-1,j} [P_{i-1,j} Z_{i+1,j}^{(k)} + q_{i,j}^{(k)}] + q_{i-1,j}^{(k)} \quad (26)$$

Подставим выражения (25) и (26) в разностное уравнение (24). Собирая коэффициент при $Z_{i+1,j}^{(k)}$ и приравнявая его нулю, а свободный член - правой части уравнения (24), получим

$$(A_{i,j} P_{i-1,j} + Q_{i,j}) P_{i,j} + A_{i,j} = 0, \quad (27)$$

$$(A_{i,j} P_{i-1,j} + Q_{i,j}) q_{i,j}^{(k)} + A_{i,j} q_{i-1,j}^{(k)} = F_{i,j}^{(k-1)},$$

где вектор правой части

$$F_{i,j}^{(k-1)} = \frac{R_{i,j}}{N^2} - B_{i,j} Z_{i,j-1}^{(k)} - \frac{1}{4} C_{i,j} [Z_{i-1,j-1}^{(k)} - Z_{i+1,j-1}^{(k)}] - B_{i,j} Z_{i,j+1}^{(k-1)} - \frac{1}{4} C_{i,j} [Z_{i+1,j+1}^{(k-1)} - Z_{i+1,j-1}^{(k-1)}]. \quad (28)$$

Выполнение условий (27) гарантирует возможность представления решения уравнения (24) в виде (25).

Из выражений (27) получаем рекуррентные соотношения для определения матриц $P_{i,j}$ и векторов $q_{i,j}^{(k)}$

$$P_{i,j} = -(A_{i,j} P_{i-1,j} + Q_{i,j})^{-1} A_{i,j}; \quad (29)$$

$$q_{i,j}^{(k)} = (A_{i,j} P_{i-1,j} + Q_{i,j})^{-1} [F_{i,j}^{(k-1)} - A_{i,j} q_{i-1,j}^{(k)}].$$

Начальные значения прогоночных коэффициентов $P_{0,j}$ и $q_{0,j}$ можно определить, сравнив первые граничные условия ($i = 0$) с формулой (25), записанной для $i = 0$:

$$P_{0,j} = q_{0,j} = 0 \quad (30)$$

Тогда из (29) для $i = 1$ получим

$$P_{1,j} = -Q_{1,j}^{-1} A_{1,j}; \quad q_{1,j}^{(k)} = Q_{1,j}^{-1} F_{1,j}^{(k-1)} \quad (31)$$

При решении системы уравнений приходится обращать матрицы всего второго порядка. Элементы обратных матриц можно получить в явном виде, а именно, для матрицы

$$H_{i-1,j} = (A_{i,j} P_{i-1,j} + Q_{i,j})^{-1} \quad (32)$$

имеем

$$h'' = h_{22}^* \Delta^{-1}; \quad h^{12} = h_{12}^* \Delta^{-1}; \quad h^{21} = h_{21}^* \Delta^{-1}; \quad h^{22} = h_{11}^* \Delta^{-1},$$

где h_{mn}^* - элементы необращенной матрицы

$$h_{mn}^* = \sum_{k=1}^2 a_{mk} p_{kn} + q_{mn};$$

$$\Delta h_{11}^* h_{22}^* - h_{21}^* h_{12}^* \quad (m, n = 1, 2)$$

Для обратной матрицы

$$G_{1,j} = Q_{1,j}^{-1} \quad (33)$$

элементами будут выражения

$$q_{11} = q_{22} \Delta_1^{-1}; \quad q_{12} = -q_{21} \Delta_1^{-1}; \quad -q_{21} = q_{12} \Delta_1^{-1}; \quad q_{11} = \Delta_1^{-1},$$

где

$$\Delta_1 = q_{11} q_{22} - q_{21} q_{12}$$

Теперь формулы (29) и (31) позволяют определить все неизвестные коэффициенты $P_{1,j}$, $P_{2,j}$, ..., $P_{N-1,j}$ и $q_{1,j}^{(k)}$, $q_{2,j}^{(k)}$, ..., $q_{N-1,j}^{(k)}$ (прямой ход матричной прогонки).

Значения дискретной вектор-функции $Z_{i,j}$ определяются в обратной последовательности.

Из левых граничных условий (23) имеем

$$Z_{N,j}^{(k)} = 0 \quad (34)$$

Тогда, воспользовавшись формулой (25), запишем

$$Z_{N-1,j}^{(k)} = P_{N-1,j}^{(k)} Z_{N,j}^{(k)} + q_{N-1,j}^{(k)}$$

откуда

$$Z_{N-1,j}^{(k)} = q_{N-1,j}^{(k)} \quad (35)$$

Наконец, по рекуррентной формуле (25) посередине определим

$$Z_{N-2,j}^{(k)}, Z_{N-3,j}^{(k)}, \dots, Z_{1,j}^{(k)} \quad (\text{обратный ход матричной прогонки}).$$

Определение векторов $Z_{i,j}^{(k)}$ на каждом шаге итерационного процесса осуществляется последовательно для всех значений

$j = 2, 3, \dots, N-1$. Процесс заканчивается, если выполняется условие

$$\lim \left\{ \| Z_{i,j}^{(k)} \| - \| Z_{i,j}^{(k-1)} \| \right\} < \varepsilon,$$

где ε - заданная точность вычислений.

Следует отметить, что при решении задач об изгибе пластинок методом конечных разностей для вычисления значений производных с нужной степенью точности необходимо брать сетку с более мелким шагом, чем для вычисления искомой функции прогиба.

"Двустрочечный" метод блочной итерации дает более быструю сходимость итерационного процесса по сравнению с однострочечным.

В "р-строчечном" методе первое приближение вектора находится сразу на строках путем решения методом прогонки системы "р" уравнений. Чем больше "р", тем быстрее сходится итерационный процесс, но более трудоемким становится выполнение каждой итерации. Если $p = N-1$, то процесс состоит всего из одной итерации и совпадает с методом матричной прогонки для уравнений второго порядка в обыкновенных разностях. Заметим, что для возможности применения "р-строчечного" метода необходимо, чтобы число строк $N-1$ нацело делилось на "р".

Численный анализ прямоугольной пластинки с непараллельными образующими гранями, нагруженной гидростатическим давлением.

Рассматривается пластинка, толщина которой задана линейной функцией вида

$$h(\alpha, \beta) = t(\alpha + \beta) + c \quad (36)$$

и в угловых точках пластины $h(\alpha, \beta)$ принимает значения

$$h(A) = c; \quad h(C) = 2t + c;$$

$$h(B) = t + c; \quad h(\infty) = t + c \quad (37)$$

Безразмерная цилиндрическая жесткость пластины \bar{D} (α, β) определяется выражением

$$\bar{D}(\alpha, \beta) = \frac{h^3(\alpha, \beta)}{h_0^3} = \frac{[t(\alpha, \beta) + c]^3}{h^3} \quad (38)$$

Гидростатическое давление, действующее на пластинку представим в виде

$$\bar{q} = q_0 \frac{\alpha}{E} \quad (39)$$

С учетом (38) и (39) ненулевые элементы матриц коэффициентов уравнения (24) примут вид

$$a_{ii} = - \frac{t^2 [t(i+j) + NC]}{2(1+\nu)a^2 h_0 N}; \quad b_{ii} = a_{ii};$$

$$c_{ii} = -2a_{ii}; \quad q_{ii} = -4a_{ii}; \quad (40)$$

$$q_{12} = - \frac{12(1-\nu^2)a^2 h_0 N}{[t(i+j) + NC]^3}; \quad z_1 = \frac{q_{0i} b^2}{E h_0 N^2}$$

Численные результаты получены для пластинок переменной толщины со следующими параметрами

$\lambda^{-1} = \frac{b}{a} = 1,5$; $h_0 = 1 \text{ мм}$; $t = 0,1; 0,3; 0,7$ при $c = 1 \text{ мм}$
а также для пластинок постоянной толщины

Во всех рассматриваемых примерах принималось $\nu = 0,023$ МПа; $\nu = 0,3$; $E = 2 \cdot 10^5$ МПа. При этом использовалась конечно-разностная сетка 8×8 , позволяющая получить численные результаты для пластинок постоянной толщины, отличающиеся от известных справочных данных на $0,01\%$.

На рис. 4 приведено распределение нормального прогиба вдоль сеточных линий $\alpha = 0,5$ (сплошные кривые и $\beta = 0,5$ (штриховые

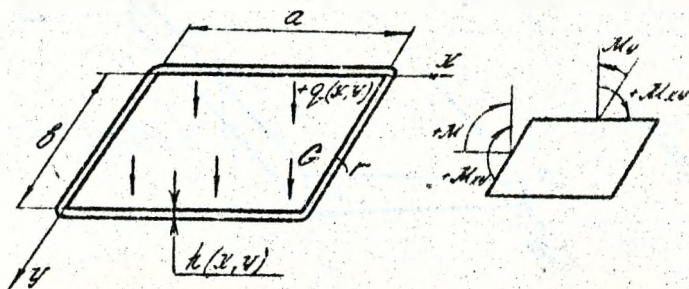


Рис. 1 Пластика произвольной толщины

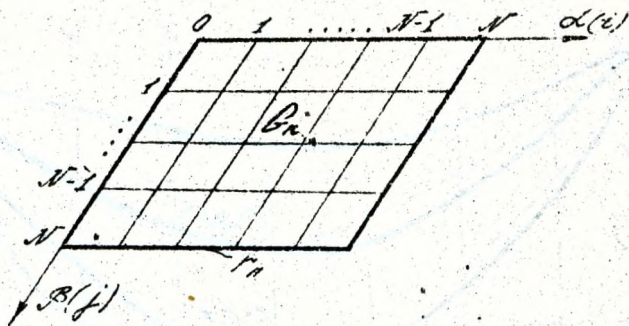


Рис. 2 Аппроксимация пластики сеточной областью

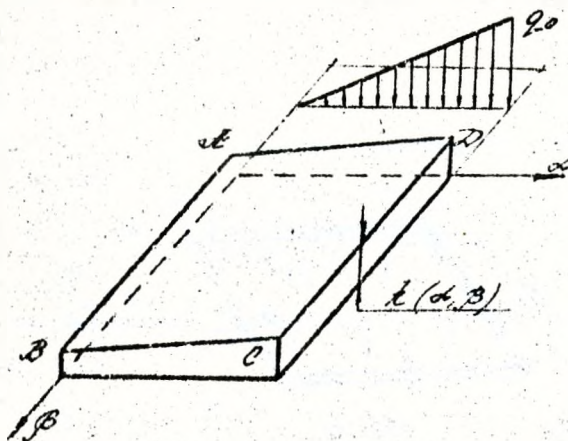


Рис. 3 Пластика при гидростатическом нагружении

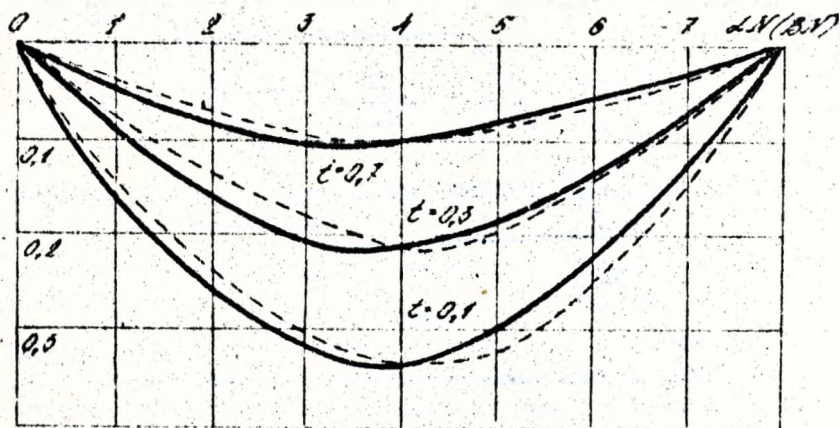


Рис. 4 Нормальный прогиб пластинки

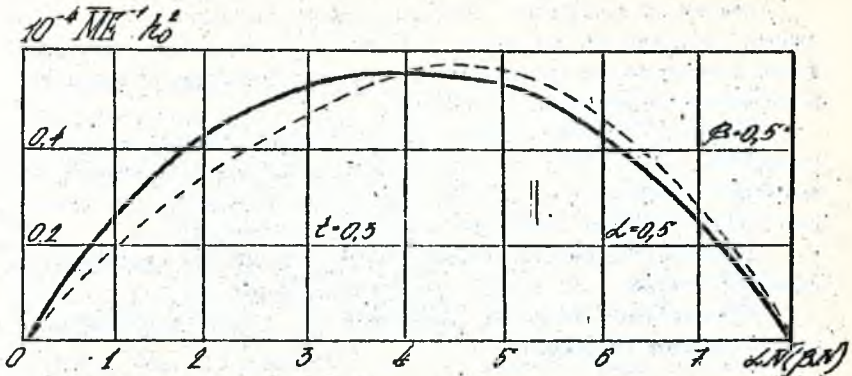


Рис. 5 Изменение приведенного момента вдоль координатных осей линий

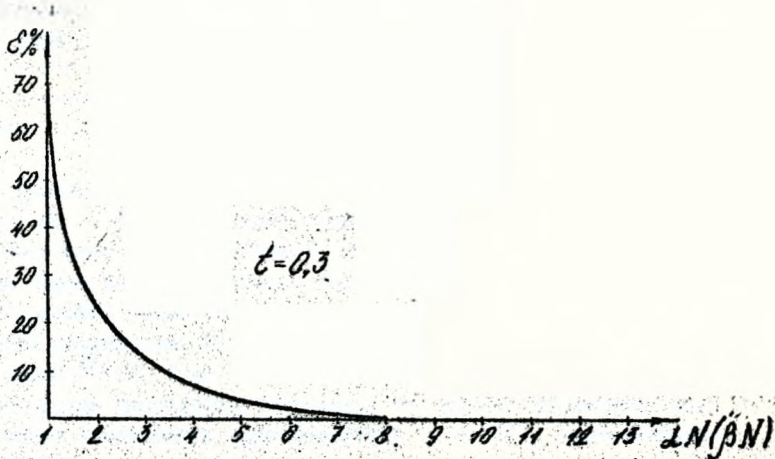


Рис. 6 График сходимости итерационного процесса

кривые).

Как видно из графика, незначительная непараллельность образующих поверхностей пластинки приводит к качественному (смещение точки максимального прогиба W_{max}) и значительному количественному изменению нормального прогиба.

На рис. 5 показано изменение приведенного момента вдоль координатных линий α , β , проходящих через центр пластинки, при значении параметра $\bar{t} = 0,3$. Варьирование параметра \bar{t} не приводит к существенному изменению приведенного момента \bar{M} .

Характер сходимости итерационного процесса для пластинки переменной толщины ($\bar{t} = 0,3$) представлен на рис. 6.

Относительная точность вычислений $\epsilon = 0,001$ достигается уже на восьмой итерации.

Л и т е р а т у р а

1. Огибалов П.М. Изгиб, устойчивость и колебания пластинок. -М.: Изд-во Московского университета, 1958. -512с.
2. Тимошенко С.П. Пластины и оболочки. -М.: Гостехиздат, 1948. - 412с.
3. Прочность, устойчивость, колебания. Справочник в 3-х томах./Под ред. Н.А.Биргера и Я.Т.Пановко. - М.: Машиностроение, 1968. - Том 2, 478с.